

Bölüm 14

KARDİYAK BİLGİSAYARLI TOMOGRAFİ

Abdulmecit AFŞİN¹

GİRİŞ: BİLGİSAYARLI TOMOGRAFİ İLKELERİ

Bilgisayarlı tomografi (BT) kısaca röntgen ışınları ve bilgisayarı kullanarak vücudun görüntülenmesidir. BT görüntüleme tüpten çıkararak vücuttan geçen röntgen ışınlarının elektronik detektörler tarafından kaydedilmesi olarak tanımlanabilir (Şekil 1A). Bu detektörler bilgiyi bilgisayara yollarlar ve bilgi saniyeler içerisinde bir görüntüye dönüştürür. 1990 yılında tüpün hasta etrafında bir dönüşünde tek kesit alabildiği helikal (spiral) BT klinik kullanımına girmiştir. Fakat, bu cihazlar kalp gibi hareketli olan bir organı görüntülemede yetersiz kalmıştır. 1998 yılında çok kesitli BT (ÇKBT) cihazlarının klinikte kullanımına girmesiyle, BT ile görüntüleme alanında çok önemli bir ilerleme sağlanmıştır. Literaturde “multislice CT, multidetector CT” ve “multidetector row CT” gibi isimler ile anılmaktadır (1).

ÇKBT’de bir rotasyonda 4 veya daha fazla sayıda (8, 16, 32, 40, 64, 256, 320) kesit alınmasına olanak veren z ekseni (hasta masası yönü) boyunca dizilmiş çok sıralı dedektör sistemi vardır (2). 4 kesitli BT’nin düşük uzaysal (spatial) ve zamansal (temporal) çözünürlük (rezolüsyonu) nedeniyle, koroner arterlere ait görüntülerin yetersiz kalite de olduğu görülmüş. Daha sonra kullanımına giren 64, 128 ve 320 kesitli BT’ler ile hem zamansal hem de uzaysal çözünürlükte ilerleme ve gantri rotasyon zamanında azalma sağlanmıştır (3). Kardiyak BT’deki bu teknolojik gelişmeler sayesinde birkaç

saniye içinde koroner arterlerin görüntülenmesi, radyasyon dozunun düşmesi ve zor hasta grupperinde (aritmik, obez, taşikardik, çocuk hastalar, nefes tutamayan, stentli hastalar) tetkik kalitesinin iyileşmesine olanak sağlamıştır (4) 2006 yılında çift tüplü (double source) 64-kesitli BT klinik kullanımına girmiştir (Şekil 1B). Çift tüplü BT ile daha hızlı zamansal çözünürlülük (75-83 msn) ve daha geniş hacmi içine almasıyla yüksek kalp hızı artık hem yetişkinlerde hem de çocukların kısıtlayıcı bir etken olmaktan çıkmıştır. Prospektif elektrokardiyografi (EKG) tetkileme ile görüntü kalitesi artmış ve radyasyon dozu azalmıştır. Günümüzde hem sıralı dedektör sayısının artması hem de çift tüplü BT’lerin kullanımına girmesiyle multiplanar görüntüleme ve 3 boyutlu reformat görüntü elde etmek mümkün olmuştur.

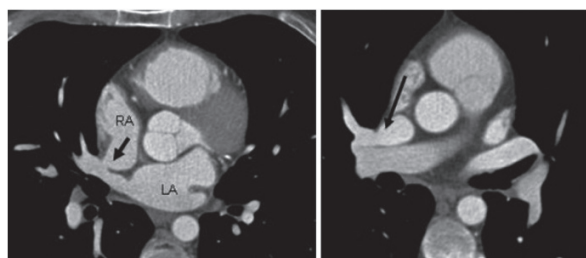
2011 yılında Fraksiyonel Akım Rezervi (FFR) ölçümü kardiyak BT’ye entegre edilerek kullanıma girmiştir. Bu sayede koroner arterdeki bir stenozun hemodinamik olarak önemli olup olmadığı FFR ile hızlı bir şekilde kontrol edilmesiyle gerek siz stent takılmasının önüne geçilebilmektedir (5). Kardiyak BT incelemelerinde, kalp duvarları ve koroner arterlerin hareket artefaktı olmadan görüntülenmesi için kalbin daha hareketsiz olduğu T-P sinyal aralığından (diyastol faz) elde edilen verilerden görüntü oluşturulması gerekmektedir. Bu nedenle kalp siklusu ile uyumu için EKG tetkileme-kapılıma gereklidir (6).

¹ Kardiyoloji Uzmanı, Kahta Devlet Hastanesi, abdulmecitafsin@gmail.com

neden sıkıkla bilinmez, fakat çoğu hastada hipertansiyon ve aterosklerozis başlıca rol oynamaktadır (57).

Pulmoner Venlerin Değerlendirilmesi

Kardiyak BT'nin diğer bir kullanım alanı sempomatik paroksismal veya persistan atrial fibrasyonu (AF) olup kriyobalon ile AF ablasyonu planlanan hastalarda sol atriyum ve pulmoner venlerin anatomisi hakkında bilgi edinmektir (58). TÖE ve TTE ile karşılaşıldığında BT daha iyi görüntü kalitesi ve detaylı bilgi vermektedir. İleri teknoloji ile üretilen 2. Jenerasyon çift tüplü 128 slice BT yüksek pitch oranı, daha yüksek uzaysal çözünürlükte ve düşük temporal rezolüsyon ile kalbi yaklaşık 280 msn'de görüntüleyebilmektedir. Thai ve ark. (59) kriyobalon ile AF ablasyonu öncesi sinüs veya AF ritminde olan hastalara pulmoner ven haritalama için yeni 2. jenerasyon 128 kesitli BT ile 64 kesitli tek tüplü BT'yi görüntüleme kalitesi, çekim süresi ve radyasyon dozu açısından karşılaştırmışlar. Çift tüplü BT'nin görüntü kalitesi daha iyi görülmüş, radyasyon dozu (1.6 mSv karşı 19.3 mSv, $p<0.0001$) bulunmuş. Kardiyak MR ile karşılaşıldığında pulmoner ven anatomisi daha iyi gözlenmiş, çekim süresi oldukça kısalmıştır (6 dakika karşı 41 dakika, $p<0.001$).



Şekil 11. (A) süperior sinüs venozus atriyal septal defekt, (B) vena kava süperiora açılan pulmoner ven izlenmektedir. (Kivistö S, Hänninen H, Holmström M. Partial anomalous pulmonary venous return and atrial septal defect in adult patients detected with 128-slice multidetector computed tomography. *J Cardiothorac Surg.* 2011; 6: 126. çalışmasından alınmıştır).

Pulmoner venöz dönüş anomalisi (PVDA) sol atriyum dışına bir veya daha fazla pulmoner venin drene olmasıdır. Özellikle konjenital kalp hastlığı tespit edilen hastalarda PVDA'nın eşlik etme ihtiyalî göz önünde bulundurulmalıdır. Parsiyel PVDA'ya en sık eşlik eden sinüs venozus tipi atriyal

septal defekt olup hastaların yaklaşık %90'ında bulunmaktadır (Şekil 11). Ayrıca, PVDA vakalarına %10-15 civarında primum atriyal septal defekt eşlik etmektedir (60).

SONUÇ

Son yillardaki teknolojik gelişmelere bağlı olarak kardiyak BT, kardiyovasküler görüntülemede önemli bir non-invaziv yöntem haline gelmiştir. Ayrıca, maruz kalınan radyasyon dozunun azalması, çekim süresinin kısalması, 3 boyutlu görüntü elde edilmesi, zamansal ve uzaysal çözünürlüğün artması nedeniyle klinik pratikte birçok kardiyovasküler hastalığın tanısında kardiyak BT'nin kullanımı giderek artacaktır.

Anahtar kelimeler: Kardiyak bilgisayarlı tomografi, Prospektif elektrokardiyografi (EKG) tetikleme, Retrospektif elektrokardiyografi (EKG) kapılılama, İyonlaştırıcı radyasyon, Koroner arter kalsiyum skorlama.

KAYNAKÇA

1. Hu H, He HD, Foley WD, et al. Four multidetector-row helical CT: image quality and volume coverage speed. *Radiology* 2000;215:55-62.
2. Karabulut N. Çok kesitli bilgisayarlı tomografi koroner anjiyografi: Genel ilkeler, teknik ve klinik uygulamalar. *Anadolu Kardiyol Derg* 2008;8(1):29-37.
3. Achenbach S, Kondo T. Technical advances in cardiac CT. *Cardiol Clin* 2012;30:1-8.
4. Öncel D, Öncel G, Taştan A. Effectiveness of dual-source CT coronary angiography for the evaluation of coronary artery disease in patients with atrial fibrillation: initial experience. *Radiology* 2007;245:703-11.
5. Nakanishi R, Budoff MJ. Noninvasive FFR derived from coronary CT angiography in the management of coronary artery disease: technology and clinical update. *Vasc Health Risk Manag.* 2016;12:269-278.
6. Sağsöz ME, Alper F. Kardiyak Multi Dedektör Bilgisayarlı Tomografide (MDBT) Radyasyon Dozu. *Trd Sem* 2013;1:16-25
7. Johnson TR, Nikolaou K, Busch S, et al. Diagnostic accuracy of dual-source computed tomography in the diagnosis of coronary artery disease. *Invest Radiol* 2007;42:684-91.
8. Dewey M, Zimmermann E, Laule M, et al. Threessel coronary artery disease examined with 320-slice computed tomography coronary angiography. *Eur Heart J* 2008
9. Hacıosmanoğlu T. Doğal ve Yapay Radyasyon Kaynakları, Kişisel Doza Katkıları. *Nucl Med Semin* 2017;3:166-71.
10. Vorobiof G, Achenbach S, Narula J. Minimizing radiation dose for coronary CT angiography. *Cardiol Clin* 2012;30:9-17.

11. Umman S. Koroner arter kalsiyum skorlama yöntemi. Anadolu Kardiyol Derg 2008;8(1):12-4.
12. Catapano AL, Graham I, De Backer G, et al. 2016 ESC/EAS Guidelines for the Management of Dyslipidaemias. Eur Heart J. 2016;14;37(39):2999-3058. doi: 10.1093/eurheartj/ehw272.
13. Goff DC, Lloyd-Jones DM, Bennett G, et al. 2013 ACC/AHA guideline on the assessment of cardiovascular risk: a report of the American College of Cardiology/American Heart Association Task Force on Practice Guidelines. J Am Coll Cardiol 2014;63:2935-59.
14. Reenland P, Gaziano JM. Clinical practice. Selecting asymptomatic patients for coronary computed tomography or electrocardiographic exercise testing. N Engl J Med 2003;349:465-73
15. Demer L, Tintut Y. Vascular calcification: pathobiology of a multifaceted disease. Circulation 2008;117:2938-48.
16. Erciyas D, Şener M, Duran C, et al. Kalsiyum skorunun koroner arterlerdeki segmenter dağılımı. Türk Kardiyol Dern Arş - Arch Turk Soc Cardiol 2012;40(8):671-680 doi: 10.5543/tkda.2012.92170
17. Budoff MJ, Achenbach S, Blumenthal RS, et al. Assessment of Coronary Artery Disease by Cardiac Computed Tomography. Circulation 2006;114:1761-91.
18. Rumberger JA, Brundage BH, Rader DJ, et al.. Electron beam computed tomographic coronary calcium scanning: a review and guidelines for use in asymptomatic persons. Mayo Clin Proc 1999;74:243-52.
19. Agatston AS, Janowitz WR, Hildner FJ, et al. Quantification of coronary artery calcium using ultrafast computed tomography. J Am Coll Cardiol 1990;15:827-32
20. Budoff MJ, Diamond GA, Raggi P, et al. Continuous probabilistic prediction of angiographically significant coronary artery disease using electron beam tomography. Circulation 2002;105:1791-1796.
21. Shavelle DM, Budoff MJ, LaMont DH, et al. Exercise testing and electron beam computed tomography in the evaluation of coronary artery disease. J Am Coll Cardiol 2000;36:32-38.
22. Baumgart D, Schmermund A, Goerge G, et al. Comparison of electron beam computed tomography with intracoronary ultrasound and coronary angiography for detection of coronary atherosclerosis. J Am Coll Cardiol 2017;30:57-64
23. Greenland P, LaBree L, Azen SP, et al. Coronary artery calcium score combined with Framingham score for risk prediction in asymptomatic individuals. JAMA 2004;291:210-15.
24. Greenland P, Blaha MJ, Budoff MJ, et al. Coronary Calcium Score and Cardiovascular Risk. J Am Coll Cardiol. 2018;72(4):434-447. doi: 10.1016/j.jacc.2018.05.027.
25. Hecht H, Blaha MJ, Berman DS, et al. Clinical indications for coronary artery calcium scoring in asymptomatic patients: expert consensus statement from the Society of Cardiovascular Computed Tomography. J Cardiovasc Comput Tomogr 2017;11:157-68.
26. Maron BJ, Haas TS, Ahluwalia A, et al. Demographics and epidemiology of sudden deaths in young competitive athletes: from the United States National Registry. Am J Med 2016;129:1170-77.
27. Maron BJ, Doerer JJ, Haas TS, et al. Sudden deaths in young competitive athletes: analysis of 1866 deaths in the United States, 1980-2006. Circulation. 2009;119:1085-92.
28. Finocchiaro G, Behr ER, Tanzarella G, et al. Anomalous Coronary Artery Origin and Sudden Cardiac Death: Clinical and Pathological Insights From a National Pathology Registry. JACC Clin Electrophysiol. 2019;5(4):516-22. doi: 10.1016/j.jacep.2018.11.015.
29. Gräni C, Kaufmann PA, Windecker S, et al. Diagnosis And Management Of Anomalous Coronary Arteries With A Malignant Course Interventional Cardiology Review 2019;14(2):83-8.
30. Yamamoto M, Tadamura E, Kubo S, et al. Cardiac functional analysis with multi-detector row CT and segmental reconstruction algorithm: comparison with echocardiography, SPECT, and MR imaging. Radiology 2005;234:381-90.
31. Bull RK, Edwards PD, Dixon AK. CT dimensions of the normal pericardium. Br J Radiol 1998;71:923-5.
32. Goldberg AD, Blankstein R, Padera RF. Tumors metastatic to the heart. Circulation 2013;128:1790-94.
33. Hoey EDT, Shahid M, Watkin RW. Computed tomography and magnetic resonance imaging evaluation of pericardial disease. Quant Imaging Med Surg. 2016;6(3):274-284. doi:10.21037/qims.2016.01.03
34. Schwefer M, Aschenbach R, Heidemann J, et al. Constrictive pericarditis, still a diagnostic challenge: comprehensive review of clinical management. Eur J Cardiothorac Surg 2009;36:502-10.
35. Cosyns B, Plein S, Nihoyanopoulos P, et al. European Association of Cardiovascular Imaging (EACVI) position paper: Multimodality imaging in pericardial disease. Eur Heart J Cardiovasc Imaging. 2015;16(1):12-31. doi: 10.1093/ehjci/jeu128.
36. Feltes TF, Bacha E, Beekman RH, et al. Indications for cardiac catheterization and intervention in pediatric cardiac disease: a scientific statement from the American Heart Association. Circulation. 2011;123:2607-52.
37. Tsai IC, Chen MC, Jan SL, et al. Neonatal cardiac multi-detector row CT: why and how we do it. Pediatr Radiol. 2008;38:438-51
38. Taylor AM. Cardiac imaging: MR or CT? Which to use when. Pediatr Radiol 2008;38(3):433-38.
39. Han BK, Rigsby CK, Hlavacek A, et al. Computed Tomography Imaging in Patients with Congenital Heart Disease, Part I: Rationale and Utility. An Expert Consensus Document of the Society of Cardiovascular Computed Tomography (SCCT), Journal of Cardiovascular Computed Tomograph (2015), doi: 10.1016/j.jcct.2015.07.004.
40. Mondesert B, and Khairy P. Implantable cardioverter-defibrillators in congenital heart disease. Current opinion in cardiology. 2014;29:45-52.
41. Koos R, Altioğlu E, Mahnken AH, et al. Evaluation of aortic root for definition of prosthesis size by magnetic resonance imaging and cardiac computed tomography: implications for transcatheter aortic valve implantation. Int J Cardiol 2012;158:353-8.
42. Binder RK, Webb JG, Willson AB, et al. The impact of integration of a multidetector computed tomography annulus area sizing algorithm on outcomes of transcat-

- heter aortic valve replacement: a prospective, multicenter, controlled trial. *J Am Coll Cardiol* 2013;62:431–8.
43. Blanke P, Weir-McCall JR, Achenbach S, et al. Computed Tomography Imaging in the Context of Transcatheter Aortic Valve Implantation (TAVI)/Transcatheter Aortic Valve Replacement (TAVR): An Expert Consensus Document of the Society of Cardiovascular Computed Tomography. *JACC Cardiovasc Imaging*. 2019;12(1):1-24. doi:10.1016/j.jcmg.2018.12.003.
 44. Kim JH, Kim EY, Jin GY, et al. A Review of the Use of Cardiac Computed Tomography for Evaluating the Mitral Valve before and after Mitral Valve Repair. *Korean J Radiol*. 2017;18(5):773–785. doi:10.3348/kjr.2017.18.5.773
 45. Authors/Task Force Members, Habib G, Lancellotti P, Antunes MJ, et al. 2015 ESC Guidelines for the management of infective endocarditis: The Task Force for the Management of Infective Endocarditis of the European Society of Cardiology (ESC)Endorsed by: European Association for Cardio-Thoracic Surgery (EACTS), the European Association of Nuclear Medicine (EANM). *Eur Heart J* 2015;36:3075–128.
 46. Fagman E, Perrotta S, Bech-Hanssen O, et al. ECG-gated computed tomography: a new role for patients with suspected aortic prosthetic valve endocarditis. *Eur Radiol* 2012;22:2407–2414.
 47. Januzzi JL, Isselbacher EM, Fattori R, et al. International Registry of Aortic Dissection (IRAD).Characterizing the young patient with aortic dissection: results from the International Registry of Aortic Dissection (IRAD). *J Am Coll Cardiol*. 2004;43(4):665-9.
 48. Tran TP, Khoynezhad, A. Current management of type B aortic dissection. *Vasc Health Risk Manag*. 2009;5:53–63.
 49. Ciccone MM, Dentamaro I, Masi F, et al. Advances in the diagnosis of acute aortic syndromes: Role of imaging techniques. *Vasc Med*. 2016;21(3):239-50.
 50. Hillen TJ, Wessell DE. Multidetector ct scan in the evaluation of chest pain of nontraumatic musculoskeletal origin. *Thorac Surg Clin* 2010;20:167-73.
 51. Ayaram D, Bellolio MF, Murad MH, et al. Triple rule-out computed tomographic angiography for chest pain: a diagnostic systematic review and meta-analysis. *Acad Emerg Med*. 2013;20:861-71.
 52. Soliman HH. Value of triple rule-out CT in the emergency department. *The Egyptian Journal of Radiology and Nuclear Medicine*, 2015;46(3),621–627.
 53. Thomas H, Joachim G, Mathias M, et al. Coronary computed tomography and triple rule out CT in patients with acute chest pain and an intermediate cardiac risk for acute coronary syndrome: Part 2: Economic aspects. *Eur J Radiol* 2013;82:106–11.
 54. Isselbacher EM. Thoracic and abdominal aortic aneurysms. *Circulation* 2005;111:816-828.
 55. Paterick TE, Humphries JA, Ammar KA, et al. Aortopathies: etiologies, genetics, differential diagnosis, prognosis and management. *Am J Med* 2013;126:670-8.
 56. Harris KM, Braverman AC, Eagle KA, et al. Acute aortic intramural hematoma: an analysis from the International Registry of Acute Aortic Dissection. *Circulation*. 2012;126(suppl 1):S91–S96.
 57. Rao MP, Panduranga P, Al-Mukhaini M, et al. Aortic intramural hematoma with rupture and concomitant acute myocardial infarction: diagnostic and therapeutic dilemmas. *Am J Emerg Med*. 2012;30:1660.e5–1660.e8
 58. Oto A, Aytemir K, Canpolat U, ve ark. Atriyum fibrilasyonu tedavisinde kriyobalon tekniği ile pulmoner ven izolasyonu: Tek merkez deneyimi. *Türk Kardiyol Dern Arş - Arch Turk Soc Cardiol* 2013;41(4):299-309.
 59. Thai W, Wai B, Lin K, et al. Pulmonary Venous Anatomy Imaging with Low-Dose, Prospectively ECG-Triggered, High-Pitch 128-Slice Dual Source Computed Tomography *Circ Arrhythm Electrophysiol*. 2012;5(3): 521–30.
 60. Alsoufi, B, Cai, S, Van Arsdell, et al. Outcomes after surgical treatment of children with partial anomalous pulmonary venous connection. *Ann Thorac Surg* 2007;84(6):2020–2026.